

## رخداد سلسیت در عضو تبخیری سازند آسماری، ارتفاعات گره چغا، صالح‌آباد مهران، ایلام

امیر علی طباخ شعبانی<sup>(۱)</sup>، الهام اسدی مهماندوستی<sup>(۲)</sup> و زینب ملکی<sup>(۳)</sup>

۱. استادیار، گروه ژئوشیمی، دانشکده علوم زمین، دانشگاه خوارزمی، تهران

۲. استادیار، گروه زمین‌شناسی، دانشکده علوم زمین، دانشگاه خوارزمی، تهران

۳. دانشگاه آزاد اسلامی واحد خرم‌آباد، خرم‌آباد

تاریخ دریافت: ۸۸/۸/۱۱

تاریخ پذیرش: ۸۹/۲/۸

### چکیده

رخداد سلسیت در عضو تبخیری سازند آسماری در ارتفاعات گره چغا، صالح‌آباد مهران واقع در استان ایلام از طریق کار صحرایی، پتروگرافی مقاطع نازک سنگ، بررسی میانبارهای سیال، داده‌های پراش‌سنگی پرتوی ایکس و ژئوشیمی سنگ کل مورد بررسی قرار گرفت. سلسیت تنها در مقاطع نازک سنگ‌های خاکستری رنگ دانه ریز تا متوسط دانه آهکی، آهک دولومیتی و دولومیت حاوی بیتومین قابل مشاهده است. بررسی میکروسکوپی سلسیت نشان می‌دهد این کانی عمده به شکل تجمعات دانه‌ای و دانه پراکنده در سنگ میزبان حضور دارد و به لحاظ فراوانی از ۱ تا ۱۵ درصد حجمی تغییر می‌کند. این کانی انواع مختلف بافت‌های جانشینی، پراکنده، دانه‌ای، پرکنده فضاهای خالی، رگه‌ای و سوزنی شعاعی را نشان می‌دهد. نتایج آنالیز فلورسانس پرتوی ایکس نشان می‌دهد سنگ‌های در بردارنده سلسیت،  $1/65$  تا  $12/99$  درصد وزنی  $\text{SrO}$ ،  $31/73$  تا  $50/05$  درصد وزنی  $\text{CaO}$ ،  $0/27$  تا  $15/74$  درصد وزنی  $\text{MgO}$ ،  $0/09$  تا  $10/07$  درصد وزنی  $\text{SO}_3$  دارند. میانگین عناصر فرعی در نمونه‌های مورد مطالعه عبارتند از:  $1/2$  درصد وزنی  $\text{SiO}_2$ ،  $0/07$  درصد وزنی  $\text{Al}_2\text{O}_3$ ،  $0/01$  درصد وزنی  $\text{Fe}_2\text{O}_3$  و  $0/01$  درصد وزنی  $\text{Na}_2\text{O}$  است. محاسبه کانی نورماتیو نشان می‌دهد محتوی سلسیت در نمونه‌های مورد مطالعه از ۲ تا  $23$  درصد وزنی و با میانگین  $8$  درصد وزنی در تغییر است. محتوای استرونیسیانیت، محصول دگرسانی سلسیت، تنها در دو نمونه مشاهده شد که به احتمال زیاد حاصل جانشینی سلسیت است. بر پایه مطالعات ریزدماسنگی بیشترین فراوانی همگن‌شدگی دمایی میانبارهای سیال اولیه در یک نمونه سلسیت بین  $164$  و  $184$  درجه سانتی‌گراد و بیشترین شوری محدود به مقادیر  $8/5$  تا  $9/5$  درصد وزنی کلرید سدیم می‌باشد. داده‌های پتروگرافی، کانی‌شناسی، میانبارهای سیال و ژئوشیمی اشاره بر این دارد که سلسیت در سنگ میزبان کربناته از نظر منشاء دیاژنتیک و به احتمال در طی دولومیتی شدن و تغییر شکل آراغونیت به کلسیت و سپس دولومیت تشکیل شده است. در حالی که نوع رگه‌ای و رگچه‌ای بعد از دیاژنز سنگ‌های کربناته تشکیل شده است و احتمالاً منشاً اپی‌ژنتیک دارد.

واژه‌های کلیدی: سلسیت، استرونیسیانیت، سازند آسماری، عضو کلهر، ایلام

### مقدمه

سلسیت با ترکیب سولفات استرانسیم، تنها کانی اقتصادی استرانسیم در طبیعت است. از مهمترین مصارف استرانسیم می‌توان به عنوان مثال ساخت آهن‌ربای مغناطیسی، باطری‌های

اناران قرار داشته و متشکل از سه واحد ژیپس قاعده‌ای، مارن و سنگ آهک مارنی نازک لایه و در نهایت ژیپس توده‌ای در بخش بالایی است (شکل ۲).

(James and Wynd, 1965; Van Buchem et al., 2010) براساس میکروفیزیل های موجود سن این عضو میوسن آغازین (اشکوب آکی تانین) در نظر گرفته می شود (Bahrami, 2000; Nayebi, 2003). عضو کلهر به عنوان واحد دربرگیرنده ماده معدنی در ارتفاعات گره چغا، صالح آباد مهران به طور تقریبی نزدیک به ۸۰ متر ضخامت دارد که به صورت همساز بر روی سازند پابده با سن پالتوسون تا الیگوسن قرار گرفته و توسط آهک آسماری با سن میوسن میانی پوشیده شده است.

از نظر سنگ‌شناختی بخش تبخیری کلهر در منطقه مورد مطالعه از پایین به بالا به اختصار شامل لایه ژیپس با میان لایه‌های نازکی از مارن است که توسط بخش آهکی و دولومیتی در بردارنده سلسیت دنبال می‌شود. بخش آهکی - دولومیتی، رنگ خاکستری تیره داشته و فاقد فسیل است که به هنگام خردشدن به دلیل آغشتنگی به مواد هیدروکربنی (بیتوئین) بوی هیدروکربن از خود ساطع می‌کند. ساخت لامیناسیون همراء با تخلخل وجود رگه‌های کلسیت در درز و شکافها از ویژگی‌های قابل توجه این واحد به شمار می‌رود. در نهایت این بخش‌ها توسط واحد ژیپس فوقانی با ضخامت حدود ۶ متر پوشیده می‌شوند. بر روی واحد تبخیری کلهر در منطقه مورد مطالعه بخش میانی سازند آسماری با لیتوژری آهک مارنی قرار می‌گیرد که در قسمت‌های بالاتر با آهک‌های کرم رنگ حاوی خلل و فرج فراوان خاتمه می‌یابد.

### روش مطالعه

برای مطالعه خصوصیات سنگ‌شناصی، کانی‌شناسی، ژئوشیمی و مطالعه میانبارهای سیال بخش تبخیری کلهر در محدوده گره ۲۵ نمونه برداشت شد. مقاطع نازک تهیه شده توسط محلول آلیازارین قرمز به منظور تشخیص کلسیت از دولومیت به روش (Dickson, 1965

پس از مطالعه دقیق مقاطع نازک، ۷ نمونه برای آزمایش پراش‌سنجدی پرتوی ایکس<sup>1</sup> و آنالیز فلورسانس پرتوی ایکس آماده‌سازی (شامل خردایش توسط دستگاه خردکننده فکی و نرمایش در ابعاد کمتر از ۲۰۰ مش) شد. الگوی پراش پودر هر یک از نمونه‌ها در آزمایشگاه پراش‌سنجدی پرتوی ایکس<sup>2</sup> سازمان زمین‌شناسی توسط دستگاه پراش سنج مدل Bruker D4 و تابش Kα مس در شرایط ۴۰ kV و ۲۰ mA به دست آمد. تطبیق هر یک از الگوهای به دست آمده با الگوهای پراش مجموعه داده‌های پراش پودر منتهی به شناسایی دقیق فازهای بلورین تشکیل دهنده سنگ شد. تعیین عناصر اصلی و فرعی در آزمایشگاه XRF سازمان زمین‌شناسی توسط دستگاه مدل Bruker S4 انجام گرفت. به منظور مطالعه میانبارهای سیال، یک نمونه که دارای بیشترین تمرکز سلسیت بود انتخاب و پس از تهیه مقطع نازک دوبر

1. X-ray Diffraction, XRD

2. X-ray Fluorescence, XRF

در رده چهارمین صادرکننده سلسیت جهان معرفی شد که نشان از ذخیره بالای استرانسیم (بالغ بر ۳ میلیون تن) دارد (Regueiro, 1998)

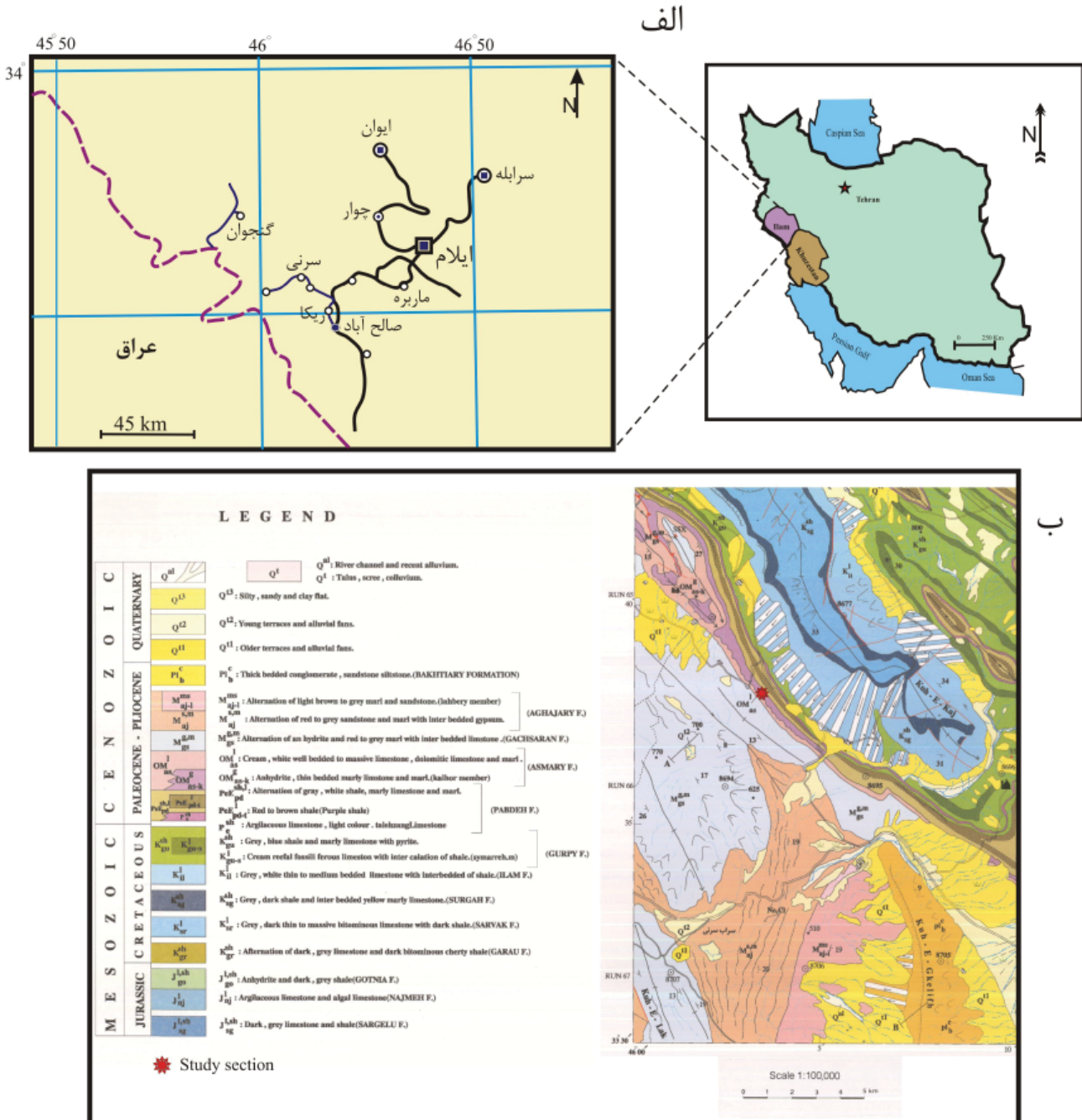
ذخایر استرانسیم و رخدادهای آن در ایران عمدتاً در سنگ‌های کربناته - تبخیری سنوزوئیک قرار دارند. این ذخایر و اندیس‌های آن در البرز مرکزی، ایران مرکزی و زاگرس رخنمون دارند. به عنوان مثال، در البرز مرکزی می‌توان به سازند کند با سن اوسن (Bazargani-Guilani and Rabbani, 2005) به سازند قم با سن الیگومیوسن که در مناطق ملک‌آباد، سیاه کوه، دوازده امام، نخجیرکوه، کوه طلحه و شکرآب رخنمون دارند (Nekouvaght Tak, 2008) و در زاگرس چین‌خورده به تقادیس بنگستان (نزاد حداد و آفتابی، ۱۳۸۹) و در منطقه بهمنی که کیلویه و بویر احمد (جمی، ۱۳۷۰؛ سبزه‌ای، ۱۳۷۷) به سازند گچساران با سن میوسن زیرین در ناحیه لیکک (احیا، ۱۳۷۶) و به سازند میشان در منطقه مخدان و تنگ دون (احیا، ۱۳۸۰) اشاره کرد.

در محدوده ارتفاعات گره چغا، صالح آباد مهران در استان ایلام کانی سلسیت به لحاظ چینه‌نگاشتی در سنگ‌های کربناته بخش تبخیری سازند آسماری با سن میوسن زیرین تشکیل شده است که در زون زمین‌ساختی زاگرس چین‌خورده یا زاگرس خارجی قرار دارد. هدف این مطالعه بررسی رخداد و ژنر سلسیت در بخش مذکور از طریق مطالعات صحرایی، کانی‌شناسی، پتروگرافی مقاطع نازک سنگ، میان‌بارهای سیال، داده‌های پراش‌سنجدی پرتوی ایکس و ژئوشیمی سنگ کل است.

### زمین‌شناسی و موقعیت منطقه

اندیس معدنی مورد مطالعه در ۶۰ کیلومتری غرب شهرستان ایلام در موقعیت جغرافیایی " ۱۰° ۴۶' طول غربی و ۳۶° ۳۸' عرض شمالی واقع شده و در نقشه زمین‌شناسی ۱:۱۰۰۰۰۰ ایلام و نقشه‌های توپوگرافی ۱:۲۵۰۰۰۰ ایلام و ۱:۵۰۰۰۰ سرنی قرار گرفته است. جهت دسترسی به منطقه از شهر ایلام حدود ۳۰ کیلومتر به طرف صالح آباد حرکت کرده و بعد از سه راهی سرنی حدود ۳۰ کیلومتر به طرف گنجوان طی مسیر می‌شود، آن‌گاه در سمت راست جاده دره عریضی وجود دارد که در امتداد آن تا منطقه مورد بررسی تقریباً یک کیلومتر فاصله دارد (شکل ۱).

از نظر تکتونیکی منطقه مورد مطالعه در کمربند چین‌خورده رورانده زاگرس قرار دارد (Alavi, ۲۰۰۷). این پهنه ساختاری به شدت چین‌خورده و محور چین‌ها به هم نزدیک و فراز بسیاری از آن‌ها زیاد و پرتگاه‌ساز است. روند محور تقادیس‌ها و ناویدیس‌ها شمال غرب - جنوب شرق است و بیشتر از نوع متقارن هستند. اندیس سلسیت در مقطع مورد مطالعه در عضو کلهر سازند آسماری قرار دارد. مقطع نمونه عضو کلهر در یال جنوبی کوه



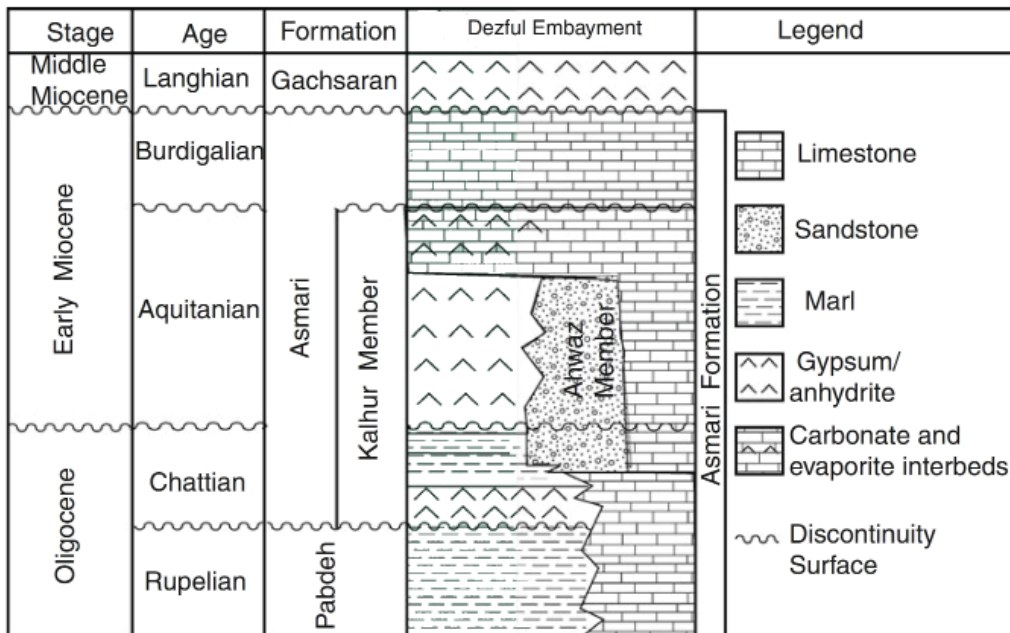
شکل ۱. (الف) نقشه راههای دسترسی به منطقه مورد مطالعه، (ب) نقشه زمین شناسی برش مورد مطالعه (اقتباس از نقشه ۱:۱۰۰۰۰۰ ایلام).

دولومیتی عضو تبخیری کلهر است. از اجزاء زیستی مشاهده شده می‌توان به میکروفیل‌هایی نظری Operculina complanata, Ro-talia sp., Heterostegina sp. و همچنین پلوید به عنوان جزء غیراسکلتی اشاره کرد که باعث تشکیل میکروفاسیس‌هایی از نوع مادستون تا پلوبیدال بیوکلست و کستون و بیوکلست پکستون (شکل ۳-۳ الف) در نمونه‌های مورد مطالعه شده‌اند. بیتومن در مقاطع نازک مورد مطالعه به رنگ سیاه در فضای بین کریستالی مشاهده می‌شود که سبب ایجاد رنگ خاکستری تیره در سنگ شده است. دانه‌های کوارتز در برخی مقاطع قابل تشخیص است. تخلخل موجود در سنگ آهک‌های مورد بررسی عمده‌است.

صیقل در آزمایشگاه ریزدماسنجی سازمان زمین شناسی بررسی شد. میکروسکوپ مورد استفاده Nikon مدل Ep200 بود و از MDS600 با تغییرات دمایی در ۱۹۰- تا +۶۰ درجه سانتی‌گراد برای اندازه‌گیری‌های دماسنجی استفاده شد. جهت تعیین درصد شوری و چگالی از نرم افزار PVTX (software modeling for fluid inclusion V) مدلینگ

2.6 استفاده شد.

**پتروگرافی نمونه‌ها**  
سنگ میزان سلسیت در منطقه مورد مطالعه، آهک و آهک‌های



شکل ۲. نمای شماتیک ستون چینه‌ای و واحدهای لیتواستراتیگرافی عضو کلهر سازند آسماری (اقتباس از Kavoosi and Sherkati, 2012).

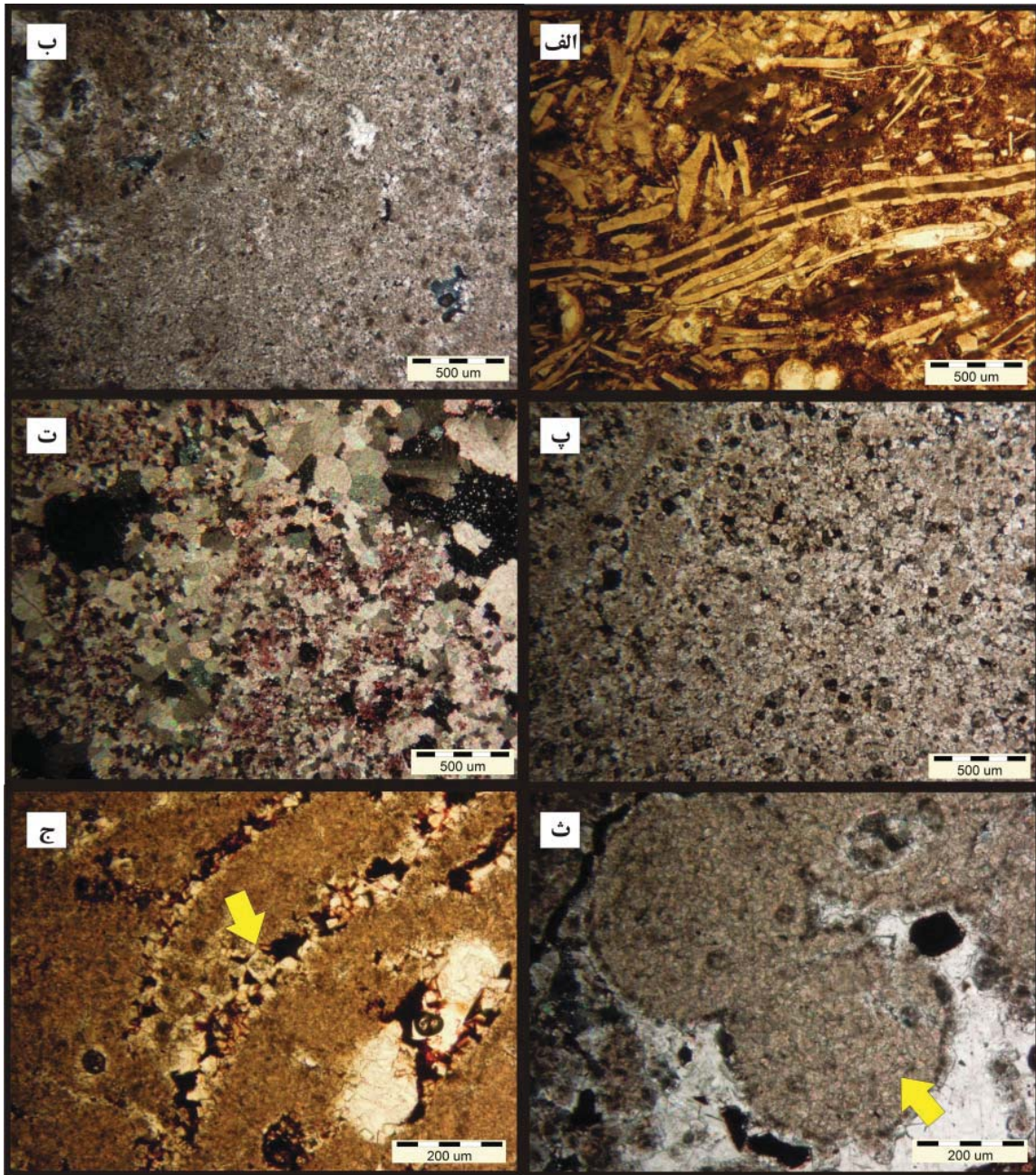
و اندازه خیلی ریز بلورها، وجود لایه‌بندی و نبود فسیل به نظر می‌رسد که این نوع دولومیت‌ها تحت شرایط سطحی، دمای پایین و در محیط‌های سوپراتایdal (بالای حد جزر و مدی) تا قسمت بالایی اینترتایدال (قسمت بالایی بین حد جزر و مدی) تشکیل شده‌اند (Sibley and Gregg, 1987; Gregg and Shelton, 1990; Adabi, 2009). آب دریا و یا محلول‌های بین ذره‌ای غنی از Mg Land, 1985; Adabi, 2009). احتمالاً عامل دولومیتی شدن بوده است (Adabi, 2009).

**ب- دولومیت‌های ریز بلور یا دولومیکرواسپارایت**  
این نوع دولومیت عمدهاً به صورت موزائیک‌های هماندازه، متراکم و دارای مرزهای مسطح نیمه‌شکل دار تا بی‌شکل تشکیل شده است و دارای اندازه‌ای بین ۲۰ تا ۷۰ میکرون هستند (شکل ۳-پ). در بسیاری از بلورهای این نوع دولومیت، مرزهای مشترک بین بلوری مستقیم و در برخی از آن‌ها فصل مشترک سطوح بلوری به‌خوبی حفظ شده است. این نوع دولومیت از دولومیت‌هایی که به صورت سیمان فضاهای خالی و یا حفرات را پر می‌کنند از طریق مرز نامنظم بین دانه‌ای قابل تشخیص هستند (آدابی، ۱۳۹۰، Adabi, 2009). بر اساس نظریه Sibley and Gregg (1987)، فابریک مسطح نیمه‌شکل دار نتیجه رشد آرام بلورها تحت جریان پیوسته‌ای از سیالات دولومیت‌ساز در دمای پائین است. بنابراین دولومیت نوع دوم بیانگر جانشینی دیاژنیک سنگ آهک‌های قبلی و یا تبلور مجدد دولومیت‌های تشکیل شده اولیه، زیر دمای بحرانی یعنی کمتر از ۶۰ درجه سانتی‌گراد است (Gregg and Shelton, 1990; Mazzullo, 1992). آثاری از میکرایت در زمینه این دولومیت‌ها قابل تشخیص است.

از نوع تخلخل حفره‌ای و تخلخل حاصل از شکستگی است (Choquette and Pray, 1970). نئومورفیسم یا نوشکلی از دیگر فرآیندهای دیاژنیکی مشاهده شده در نمونه‌های آهکی مورد مطالعه است که منجر به تغییر فابریک رسوبات بدون تغییر ترکیب شیمیایی آن‌ها شده است. نئومورفیسم تشخیص داده شده از نوع کربنات توسط بلورهای درشت کربنات جانشین شده است.

دولومیت به عنوان جزء دیاژنیک اصلی در بخش‌های آهکی عضو کلهر قابل تشخیص است که حضور آن‌ها از طریق رنگ‌آمیزی با محلول آلیارین قرمز S در مقاطع نازک میکروسکوپی و نیز نتایج آنالیز XRD تأیید می‌شود. دولومیت می‌تواند در بیشتر مراحل دیاژنز، یعنی بلافلصله پس از رسوب گذاری تا دفن عمیق و از آب‌های با ترکیب شیمیایی مختلف (مخلوط آب‌های متاثوریکی و دریایی، آب دریا و آب‌های بسیار سور) تشکیل شود (آدابی، ۱۳۹۰). مطالعات نشان داده است که اگر زمان، دما و میزان سیالات دولومیت‌ساز کافی و مناسب باشد طیف وسیعی از انواع دولومیت‌ها تشکیل می‌شوند (Mazzullo, 1992). بر مبنای اندازه بلورها (یک اندازه یا چند اندازه) و شکل مرز بلورها (مسطح، یا غیر مسطح) می‌توان انواع متفاوت دولومیت را در مقاطع مورد مطالعه تشخیص داد که عبارتند از:

**الف- دولومیت‌های خیلی ریز تا ریز بلور یا دولومیکرایت**  
این نوع دولومیت‌ها به صورت موزائیک‌های یک اندازه، دارای مرزهای مسطح نیمه‌شکل دار در اندازه خیلی ریز تا ریز بلور (کمتر از ۲۰ میکرون) در مقاطع مورد مطالعه مشاهده می‌شوند. دولومیکرایت‌ها معمولاً متراکم و فاقد تخلخل و فسیل هستند و رنگ خاکستری تیره دارند (شکل ۳-ب). با توجه به فابریک



شکل ۳. تصاویر میکروسکوپی نمونه‌هایی از سنگ‌های کربناته عضو تیغیری سازند آسماری. (الف) سنگ آهک حاوی میکروفسیل در یک زمینه میکراتیت (بیولکلست پکستون طبق طبقه‌بندی دانهام، ۱۹۶۲)، (ب) دولومیت‌های خیلی ریز یا دولومیکرایت، (پ) دولومیت‌های ریزبلور یا دولومیکرواسپار که در آن آثاری از میکراتیت در زمینه دولومیت قابل تشخیص است، (ت) دولومیت‌های متوسط بلور یا دولواسپارایت که احتمالاً حاصل تبلور مجدد دولومیت‌های قبلی است (قطع رنگ‌آمیزی شده است)، (ث) لوزوجه‌هایی دولومیت به صورت انتخابی درون یک آلوکم غیراسکلتی (احتمالاً ایید)، (ج) دولومیتی شدن انتخابی درون یک شکستگی، همراه با آغشتگی به مواد هیدروکربنی.

#### د- دولومیتی شدن بخشی یا انتخابی

مطالعه مقاطع نازک نشان می‌دهد که دولومیتی شدن در برخی قسمت‌های عضو آهکی به صورت بخشی و انتخابی صورت گرفته است. به طوری که در برخی مقاطع به نظر می‌رسد که تنها آلوکم‌ها دولومیتی شده‌اند (شکل ۳-ث). در صورتی که در برخی دیگر تنها زمینه میکراتی یا داخل فضاهای خالی و شکستگی‌ها دولومیتی شده است (شکل ۳-ج). در این موارد دولومیتی شدن

#### ج- دولومیت‌های متوسط بلور

این نوع دولومیت‌ها از بلورهای موزائیکی هم اندازه، متراکم و دارای مرزهای مسطح نیمه‌شکل دار تا بی‌شکل تشکیل شده‌اند (شکل ۳-ت). اندازه بلورها بین ۷۰ تا ۲۶۰ میکرون در تغییر است. دولواسپارایت‌ها به احتمال زیاد بر اثر تبلور مجدد دولومیت‌های نوع اول و دوم حاصل شده‌اند (Adabi, 2009).

پراکنده شده‌اند و در ارتباط با شکستگی‌ها و یا درزه و شکاف‌های سنگ نیستند (شکل ۴-ت). مشخص نیست که منشا سلسیت‌ها سین‌ژنتیک و یا به صورت ثانویه در رسوبات میکراتی باشد.

#### ج- بافت دانه‌ای

بلورهای سلسیت (کوچکتر از یک میلی‌متر) به‌شکل تجمعاتی با مرزهای بین‌دانه‌ای صاف تا کمی انحنادار و بدون جهت‌یافتنگی ترجیحی در متن سنگ مشاهده می‌شوند. این دانه‌ها عمدها به صورت هماندازه و به صورت متراکم در کنار یکدیگر قرار گرفته‌اند (شکل ۴-ث).

#### د- بافت پرکننده فضای خالی

در این نوع بافت، سلسیت به صورت بلورهای با اندازه متوسط تراشت و بدون جهت‌یافتنگی خاص فضای خالی بین دانه‌های تشکیل‌دهنده سنگ را پر می‌کند و به‌نظر به صورت سیمان پرکننده حفرات عمل کرده است (شکل ۴-ج).

#### ه- بافت متقطع یا رگه‌ای

در این حالت بلورهای سلسیت فضای خالی درون درزه‌ها و شکاف‌های سنگ را پر می‌کنند که به‌نظر می‌رسد فرآیند تحرک دوباره استرانسیم و تبلور مجدد سلسیت در امتداد درزه‌ها سبب تشکیل سلسیت در مرحله دیاژنر دفنی و یا بعد از دیاژنر باشد (Fontbote, 1981) (شکل ۴-چ).

#### و- بافت سوزنی - شعاعی

بلورهای سلسیت به صورت سوزنی همراه با بلورهای کلسیت و یا دولومیت تجمعات شعاعی را به نمایش می‌گذارند (شکل ۴-ح)، (1989) (Scholle et al., 2012). این بافت را به زمان رسوب‌گذاری در یک محیط اشباع مثل سبخاخاها یا کولابها و حتی در مراحل دیاژنر نسبت می‌دهند. در شکل ۵ توالی دیاژنیکی انواع مختلف بافت‌های سلسیت مشاهده شده در سازند کلهر به منظور مقایسه نمایش داده شده است.

### نتایج تجزیه فلورسانس پرتوی ایکس و پراش‌سنجد

**نمونه‌های کربناته استرانسیم دار**  
نتایج تجزیه شیمیایی به روشن فلورسانس پرتوی ایکس نمونه ۷ م منتخب در بردارنده استرانسیم در جدول ۱ آرائه شده است. مقادیر اکسیدهای تعیین شده:  $\text{SrO}$  از  $1/65$  تا  $1/99$  درصد وزنی،  $\text{CaO}$  از  $31/73$  تا  $50/52$  درصد وزنی،  $\text{MgO}$  از  $1/16$  تا  $15/74$  درصد وزنی،  $\text{SiO}_2$  از  $0/35$  تا  $2/10$  درصد وزنی،  $\text{K}_2\text{O}$  از  $0/01$  تا  $0/06$  درصد وزنی،  $\text{Fe}_2\text{O}_3$  از  $0/01$  تا  $0/29$  درصد وزنی،  $\text{Al}_2\text{O}_3$  از  $0/27$  تا  $1/12$  درصد وزنی،  $\text{Na}_2\text{O}$  از  $1/14$  تا  $0/09$  درصد وزنی و  $\text{SO}_3$  از  $0/07$  تا  $10/07$  درصد وزنی در تغییر هستند.

از فاپریک سنگ تبعیت می‌کند.

### بافت سلسیت

سلسیت و استرانسیانیت که در بین ۲۷ کانی استرانسیم دار رایج‌ترین است، در محدوده مورد بررسی تنها در مقاطع نازک سنگ‌های در بردارنده آن‌ها قابل شناسایی است. بلورهای سلسیت به شکل منفرد و بیشتر به صورت تجمعاتی با مرزهای بین‌دانه‌ای صاف تا کمی انحنادار و بدون جهت‌یافتنگی ترجیحی در اندازه‌های  $1-0/1$  میلی‌متر در زمینه به صورت پراکنده مشاهده می‌شوند. کانی سلسیت بافت‌هایی را به نمایش می‌گذارد که توصیف هر یک در پی آمده است.

#### الف- بافت جانشینی

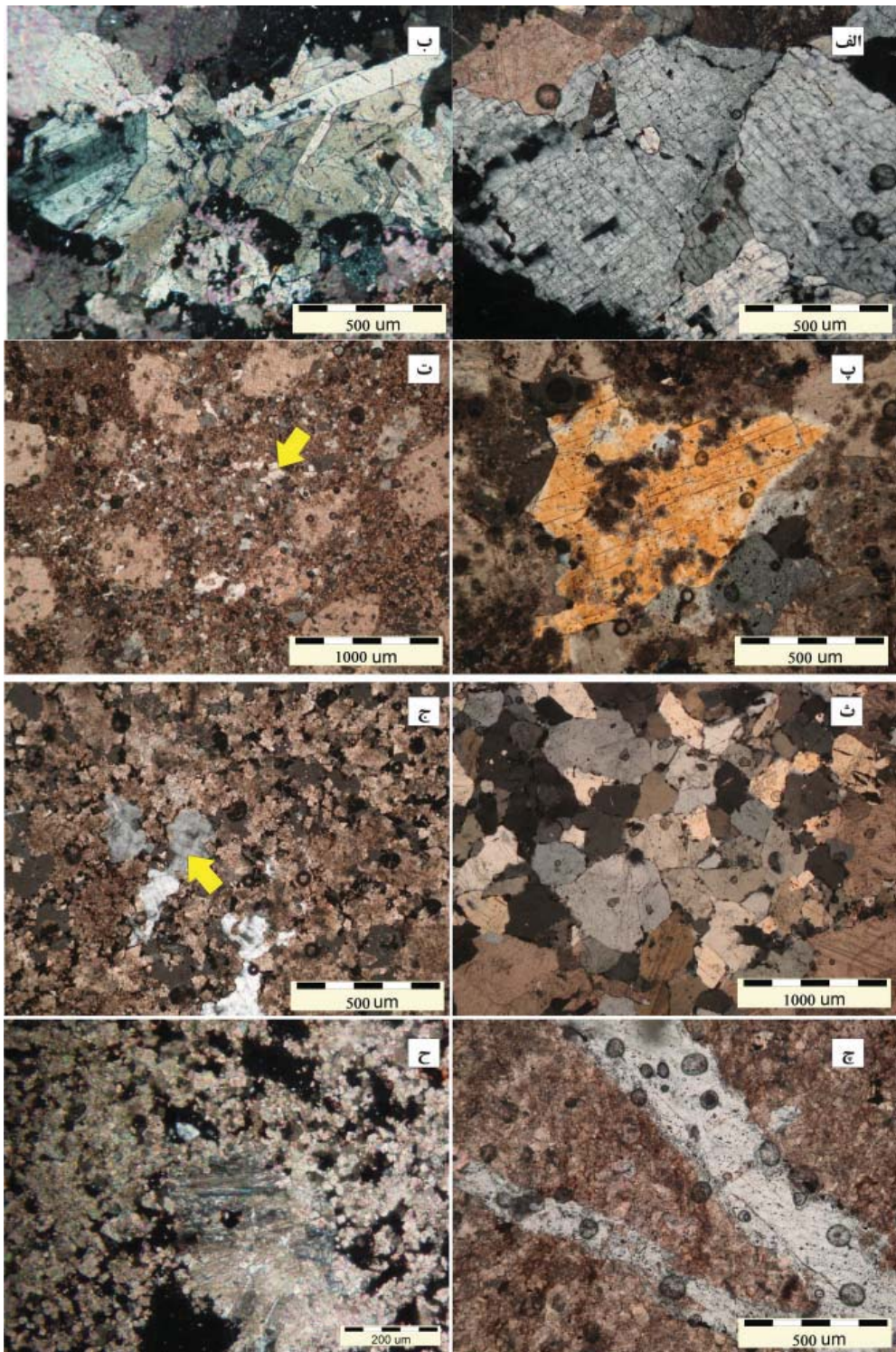
بررسی میکروسکوپی بلورهای سلسیت منتهی به تشخیص سه نوع بافت جانشینی شد. در بافت جانشینی نوع اول بلورهای سلسیت اولیه نیستند و احتمالاً بر اثر واکنش سیالات غنی از استرانسیم با ایندریت اولیه تشکیل شده‌اند که شاهد آن حضور سلسیت‌های نیمه‌شکل دار با دو سری رخ عمود بر هم است (شکل ۴-الف). دو سری رخ عمود برهم خاص بلورهای ایندریت است (Nesse, 2012). همچنین حضور ادخال‌های ایندریت به‌جامانده درون سلسیت نیز گواه روشی بر جانشینی سلسیت به‌جای ایندریت است. بلورهای نسبتاً درشت سلسیت (حدود یک میلی‌متر) در این حالت عموماً به صورت تک و یا تجمع دو یا چند دانه در زمینه‌ای از کلیست اسپاری مشاهده می‌شوند. این نوع سلسیت که نتیجه جانشینی ایندریت محسوب شده است (تزاد حداد و آفتائی، ۱۳۸۹).

در بافت جانشینی نوع دوم، استرانسیانیت جانشین سلسیت شده است (شکل ۴-ب). بررسی میکروسکوپی نشان می‌دهد که بلورهای سلسیت از حاشیه و در امتداد رخ‌ها و شگستگی‌ها در اثر دگرسانی به استرانسیانیت تبدیل شده‌اند. تشخیص استرانسیانیت از طریق مطالعه XRD میسر شد (جدول ۲). به‌نظر می‌رسد تاثیر سیالات حاوی اسید کربنیک بر سلسیت عامل این دگرسانی باشد.

بافت جانشینی نوع سوم، دولومیتی شدن سلسیت و کلسیت را به نمایش می‌گذارد (شکل ۴-پ). دولومیتی شدن علاوه‌بر جانشینی سلسیت، زمینه کلسیتی در بردارنده سلسیت را نیز تحت تاثیر قرار داده به‌گونه‌ای که بلورهای ریز دولومیت (دولومیکرواسپارایت) در سرتاسر مقطع مشاهده می‌شود و به‌طور بخشی جایگزین کلسیت شده و گاهی بر اثر تجمع، بافت دانه شکری را ایجاد کرده‌اند.

#### ب- بافت پراکنده

دانه‌های بسیار ریز (کوچکتر از  $0/2$  میلی‌متر) سلسیت به صورت آنهدرال در زمینه‌ای از کلسیت میکراتی فاقد فسیل



شکل ۴. تصاویر میکروسکوپی تنوع بافتی بلورهای سلسیت و استرونسیانیت در سنگ میزان کربناته عضو تبخیری سازند آسماری (کلیه تصاویر در نور پلاریزه مقاطعه گرفته شده است). (الف) بافت جانشینی نوع اول: در این شکل سلسیت‌ها نیمه‌شكل دار و دارای دوسری رخ عمود بر هم هستند، (ب) بافت جانشینی نوع دوم: بلورهای تیغه‌ای و ماکل دار استرونسیانیت با رنگ تداخلی خاکستری جانشین سلسیت شده است، (پ) بافت جانشینی نوع سوم: بلورهای بسیار ریز دولومیت بر روی سلسیت و کلسیت دیده می‌شوند. بدلیل ضخامت بیشتر مقطع، بلور سلسیت رنگ تداخلی نارنجی نشان می‌دهد، (ت) بافت پراکنده: دانه‌های بسیار ریز سلسیت به صورت آنهدرال در زمینه‌ای از کلسیت میکرایتی فاقد فسیل پراکنده شده‌اند، (ث) بافت دانه‌ای: بلورهای سلسیت به صورت هم‌اندازه و با مرزهای بین‌دانه‌ای صاف تا کمی انحنادار و بدون جهت یافتگی ترجیحی در متن کلسیت اسپاری مشاهده می‌شوند، (ج) بافت پراکنده فضای خالی: سلسیت به صورت بلورهای با اندازه متوسط تا درشت و بدون جهت یافتگی خاص فضای خالی بین بلورهای دولومیت را پرکرده است، (چ) بافت متقاطع یا رگه‌ای، (ح) بافت سوزنی -شعاعی: بلورهای سلسیت به صورت سوزنی همراه با بلورهای کلسیت و یا دولومیت تجمعات شعاعی را به نمایش می‌گذارند.

نوع بافت	همزمان با رسوبگذاری	دیاژنر اولیه	دیاژنر تاخیری	ایپی ژنتیک
جانشینی			.....	
پراکنده			-----	
دانه‌ای			-----	
پرکننده فضای خالی			-----	
متقطع یا رگه‌ای			-----	
سوزنی شعاعی			-----	

شکل ۵. توالی دیاژنیکی انواع بافت‌های سلسیت مشاهده شده در سازند کله‌بر

جدول ۱. نتایج تجزیه شیمیابی به روش XRF نمونه‌های کربناته استرانسیم‌دار منطقه گره چغا- صالح‌آباد مهران.

sample No.	G.3	G.8	G.12	G.22	G.13	G.20	G.25
L.O.I.	39.86	40.50	40.24	33.24	42.46	43.87	40.94
Na <sub>2</sub> O	<0.10	<0.10	<0.10	<0.10	0.14	0.11	<0.10
MgO	5.41	8.88	0.60	0.27	14.42	15.74	1.04
Al <sub>2</sub> O <sub>3</sub>	0.55	0.78	0.92	0.43	0.70	1.12	0.27
SiO <sub>2</sub>	1.12	1.04	2.10	0.68	1.38	1.84	0.35
SO <sub>3</sub>	4.18	4.06	2.23	10.07	2.04	1.33	0.90
K <sub>2</sub> O	0.03	0.04	0.06	0.03	0.06	0.06	0.01
CaO	43.20	39.09	50.52	41.89	31.73	33.85	45.39
Fe <sub>2</sub> O <sub>3</sub>	0.16	0.18	0.27	0.17	0.29	0.28	0.10
SrO	5.42	5.33	2.87	12.99	6.54	1.65	10.85

عبارة دیگر صحت آنالیزهای انجام گرفته دارد (جدول ۲). لازم به ذکر است که از اکسید عناصر با مقادیر ناچیز در محاسبه کانی نورماتیو استفاده نشده است؛ به عبارت دیگر مقادیر کم Al<sub>2</sub>O<sub>3</sub> و SiO<sub>2</sub> می‌تواند مربوط به ناخالصی‌های اندک رس در این سنگ‌ها باشد و عنصر آهن نیز می‌تواند جانشین عنصر منیزیم در ساختار دولومیت شده باشد.

### مطالعه میان‌بارهای سیال

مطالعه میان‌بارهای سیال در کانی سلسیت و کانی‌های همراه اطلاعات با ارزشی درباره شرایط تشکیل به دست می‌دهد. بدین منظور پس از مطالعه کانی‌شناسی و پراش‌سنگی نمونه‌های مورد بررسی، نمونه G-22 که یک اسپاری‌کلسیت که بیشترین تمرکز بلورهای سلسیت را دارد به عنوان نمونه معرف جهت مطالعه میان‌بارهای سیال انتخاب شد. در این نمونه ۵ نوع سیال در گیر به

شرح زیر قابل تفکیک بود:

نوع A - دو فازه مایع-گاز L+V

نوع B - دو فازه گاز-مایع V+L

نتایج مطالعه پراش‌سنگی پرتوی ایکس بر روی همان ۷ نمونه سنگی حضور کانی‌های کلسیت، دولومیت، سلسیت و در دو نمونه استرونسیانیت را اثبات می‌کند و تنها در یک نمونه اندکی کوارتر نیز دیده می‌شود (ستون سمت راست جدول ۲).

همان‌گونه که ملاحظه می‌شود داده‌های XRD ارائه شده در ستون سمت راست جدول ۲ مقادیر کانی‌های یک سنگ را به ترتیب فراوانی از زیاد به کم یعنی از چپ به راست ارائه می‌کند. از آنجاکه نتایج تعیین مقادیر کانی‌ها در روش XRD نیمه کمی است جهت تعیین کمی مقادیر کانی سلسیت، استرونسیانیت و سایر کانی‌های اصلی همراه مباردت به محاسبه نرم بر پایه نتایج عناصر اصلی به دست آمده از آنالیز XRF شده است. محاسبه کانی نورماتیو نشان می‌دهد که محتوی سلسیت در نمونه‌های مورد مطالعه از ۲ تا ۲۳ درصد وزنی با میانگین ۸ درصد وزنی در تغییر است. محتوای استرونسیانیت، محصول دگرسانی، تنها در دو نمونه (G-13 = ۵/۵ و G-22 = ۱۳/۸ درصد وزنی) بر محتوای سلسیت پیشی دارد. مقایسه نتایج به دست آمده از XRD با نتایج محاسبه کانی نورماتیو نشان از سازگاری این دو با یکدیگر و به

جدول ۲. نتایج محاسبه کانی نورماتیو بر پایه تجزیه شیمیایی به روش XRF بر حسب درصد وزنی و نتایج XRD نمونه‌های کربناته استرانسیم دار گره چغا، صالح آباد مهران، ایلام.

sample	dolomite	calcite	celestite	strontianite	XRD results
G-3	21.53	63.67	9.59	0.01	cal+dol+cel
G-8	35.34	47.71	9.31	0.11	dol+cal+cel+str+qz
G-12	2.39	88.68	5.09	0.01	cal+cel+str+dol
G-22	1.07	74.09	22.95	0.06	cal+cel
G-13	57.39	20.82	4.68	5.56	dol+cal+str+cel
G-20	62.64	21.32	2.92	0.00	dol+cal+cel
G-25	4.14	78.43	2.06	13.80	cal+str+dol

Abbreviations: cal: calcite, dol: dolomite, cel: celestite, str: strontianite, qz: quartz

بالا در میانبارهای سیال حاوی فاز بخار بیشتر مشاهده می‌شود.

### بحث

عقیده بر این است که در ناحیه لرستان و در زمان الیگوسن و میوسن پایینی، محیط‌های ساحلی از جمله سبخاهای لagonها، پهنه‌های سوپراتایدال، ریفی و مناطق جزرومی وجود داشته و در نتیجه تبخیری‌های قاعده آسماری تشکیل شده‌اند (مطیعی، ۱۳۷۲). این تغییرات سریع محیط رسوبی در منطقه ساحلی دریا منجر به تشکیل افق‌های مارنی، آهک آرژیلیتی، آهک ماسه‌ای و ژیپس گردید. مطالعات صورت گرفته توسط Kavoosi and Sherkati (2012) بر روی تبخیری‌های عضو کلهر در کمربند چین‌خوردۀ رورانده زاگرس بیان گر نقش تکتونیک، بالا و پایین آمدن سطح آب دریا و فعالیت مجدد گسل‌های پی‌سنگی موجود در کرتاسه‌پایانی و اوخر میوسن بر روی این نهشته‌های تبخیری و ایجاد فرآیندهای مختلف دیاژئوتکنیکی است.

در مورد منشا استرانسیم در محدوده مورد بررسی باید اذعان نمود با توجه به نبود توده‌های آذرین در منطقه، به احتمال قوی منشا آن می‌تواند اتحال آرگونیت‌های اولیه موجود در سازند آسماری که حدود ۸۰۰۰ تا ۱۰۰۰۰ گرم در تن استرانسیم داشته‌اند و یا تبدیل آندریت به ژیپس و آزادسازی استرانسیم در نظر گرفته شود (Warren, 2006). از طرف دیگر، نبود عنصر باریم در نتایج تجزیه XRF نمونه‌های مورد بررسی نشان از تشکیل سلسیت در یک محیط کاملاً رسوبی دارد.

سازوکارهای بسیاری برای تشکیل سلسیت پیشنهاد شده است که توسط Scholle et al., (1989) خلاصه شده است. لیکن همان‌گونه که پیشتر بیان شد مطالعات پتروگرافی و پراش‌سنگی پرتوی ایکس نمونه‌های مورد بررسی نشان داد دولومیت شدن به‌طور گسترده رسوبات کربناته آسماری پایینی (حوضه تبخیری کلهر) را تحت تاثیر قرار داده است، بنابراین به نظر می‌رسد سلسیت می‌توانسته در طی تبدیل آرگونیت دارای استرانسیم بالا یا کلسیت زیستی به کلسیت دارای استرانسیم پایین یا دولومیت تشکیل شده باشد (Hanor, 2004). حضور فراوان دولومیت‌های ریزبلور و متوفط‌بلور که آثاری از زمینه میکرایتی اولیه کلسیتی

نوع C - سه فازه گاز - مایع - جامد V+L+S

نوع D - تک فازه مایع L

نوع E - تک فازه گاز V

اندازه میانبارهای سیال مطالعه شده در بلورهای سلسیت متفاوت و از ۶ تا ۴۴ میکرون بود. بیشترین نوع میانبار سیال در نمونه انتخاب شده نوع A بود که در این نوع، بیشترین حجم میانبار سیال را فاز مایع تشکیل می‌دهد و فاز گازی تنها ۱۰ تا ۳۵ % حجم میانبارهای سیال مطالعه شده را دربر می‌گیرد. در این نوع، فاز جامد نمک وجود ندارد. میزان شوری در این نوع متغیر و بین ۶ تا ۱۸ درصد وزنی معادل % NaCl است (جدول ۳). میانبارهای سیال نوع C بلور هالیت (در دو نمونه میانبار سیال) اشکال مکعبی و بهندرت به صورت گرد شده داشت که در طی حرارت دادن در دمای ۲۰۰ درجه سانتی‌گراد ناپدید شدند. میزان شوری در این نوع ۳۲/۹ درصد وزنی معادل NaCl می‌باشد. نوع میانبارهای سیال D و E به تعداد زیادی در نمونه مشاهده شد لذا از این نوع به دلایل موجه در ترمومتری استفاده نشد. براساس مطالعات انجام شده بر روی نمونه‌ها میزان آخرین دمای ثبت شده در طی ذوب از ۱۴/۵-۱۴/۱ تا ۴/۱-۴/۰ می‌کند که این دمای ذوب را Tm می‌نامند. بر پایه نمودار فراوانی (هیستوگرام) بیشترین میزان Tm تعیین شده در محدوده ۶/۵-۵/۵ و ۹/۵-۸/۵ می‌باشد. بنابراین در نمونه‌های مطالعه شده درجه شوری میانبارهای سیال از ۶/۵ تا ۳۲/۹ درصد وزنی معادل NaCl تغییر می‌کند. قابل ذکر است درصد بالای درجه شوری ۳۲/۹ درصد وزنی معادل NaCl مربوط به میانبار سیال نوع C و حضور فاز جامد (هالیت) است. همچنین بر پایه نمودار فراوانی (هیستوگرام)، در نمونه‌های نوع A که بیشترین اندازه گیری‌ها مربوط به این نوع است بیشترین میزان درجه شوری ۸/۵ تا ۹/۵ درصد وزنی معادل NaCl است.

در نمونه مطالعه شده در درجه حرارت همگنی میانبارهای سیال دو فازی با تبدیل بخار به مایع صورت گرفت. در نمونه حاوی بخار بالا با تبدیل مایع به بخار همگن شدگی ثبت شد. بیشترین فراوانی همگن شدگی دمایی مربوط به محدوده دمایی ۱۸۴-۱۶۴ درجه سانتی‌گراد است. این در حالی است که دماهای

جدول ۳. نتایج مطالعه میانبارهای سیال یک نمونه کربناته غنی از استرانسیم (G-22) از ارتفاعات گره چغای صالحآباد مهران.

No	Incl. type	class	shape	size	fill	Tm ice	Th aq	phase	Eq wt% NaCl	density
1	L+V	primary	irregular	8*25	0.84	-8.7	225	liquid	12.51	0.935
2	L+V	pseudosecondary	irregular	3.5*7.5	0.86	-6.2	170	liquid	9.452	0.967
3	L+V	primary	irregular	5*22.5	0.88	-7.8	199	liquid	11.463	0.954
4	L+V	primary	irregular	25*44.5	0.69	-4.1	360	liquid	6.521	0.674
5	L+V	pseudosecondary	faceted	4*12	0.92	-9.1	115	liquid	12.966	1.039
6	L+V	pseudosecondary	faceted	3*13	0.90	-12.1	104	liquid	16.050	1.070
7	L+V	pseudosecondary	faceted	3*13	0.90	-12.1	104	liquid	16.050	1.070
8	V	primary	irregular	20*25	0.73	-7.1	376	vapor	10.606	0.708
9	L+V	primary	irregular	8.5*14.5	0.93	-6.8	154	liquid	10.228	0.987
10	L+V	primary	irregular	8.5*9	0.89	-14.5	179	liquid	18.200	1.026
11	L+V	primary	rounded	26*34	0.83	-11.1	225	liquid	15.077	0.956
12	L+V	primary	irregular	6*15.5	0.91	-6	176	liquid	9.187	0.960
13	L+V	primary	irregular	10*15	0.95	-13.8	165	liquid	17.598	1.034
14	L+V	primary	faceted	10*38	0.85	-8.8	225	liquid	12.629	0.936
15	L+V	primary	rounded	4*6	0.85	-5.9	293	liquid	9.054	0.819
16	V+L+S	primary	rounded	5.5*6.5	0.57		225	liquid	32.920	1.028

همان گونه که پیشتر توصیف شد اکثر نمونه های دربردارنده بلورهای سلسیت، آهک های تمام متبلور با بافت موzaïekی یا دولومیتی است که تشکیل آنها مرتبط با فرآیندهای دیاژنز است. بلورهای سلسیت هم به شکل منفرد و هم به صورت مجتمع با مرزهای بین دانه ای تقریباً صاف و زوایای ۲۰ درجه در زمینه ای از موzaïek های اسپاری کلسیت به صورت پراکنده مشاهده می شوند که برخی از دانه های سلسیت دو سری رخ عمود بر هم را به نمایش می گذارند که اشاره به جانشینی آن به جای اندیزیت در مرحله دیاژنس دارد. همچنین نتایج اندازه گیری چگالی و شوری میانبارهای سیال بر روی یک نمونه از این نوع سلسیت در محدوده چگالی و شوری آب دریا قرار می گیرد، به عبارت دیگر می توان منشا سیال استرانسیم دار را آب دریا که در بین منفذ سنگ وجود داشته در نظر گرفت. همین مطالعه نشان داد که بیشترین فراوانی همگن شدگی دمایی مربوط به محدوده دمایی ۱۶۴-۱۸۴ درجه سانتی گراد می باشد. این محدوده از درجه حرارت نمی تواند بیانگر شرایط اولیه تشکیل سلسیت باشد و بیشتر نشانگر تبلور و تکامل این کانی در مرحله دیاژنس تاخیری است که موجب تبلور مجدد و بافت پرکننده فضاهای خالی و جانشینی شده است. بنابراین با در نظر گرفتن موارد بالا تشکیل کانی سلسیت در سنگ های کربناته بخش کلهر به احتمال نتیجه انحلال آراغونیت، تبدیل آراغونیت به دولومیت، تبدیل کلسیت به دولومیت، تبدیل آراغونیت به کلسیت و احتمالاً تبدیل اندیزیت به ژیپس که نتیجه آن آزاد شدن استرانسیم و ورود آن به سیالات روزنه ای و در پی آن جانشینی سلسیت به جای اندیزیت در شرایط دیاژنس در دماهایی کمتر از ۲۰۰ درجه سانتی گراد باشد (Baker and Bloomer, 1988; Hanor, 2000; Lake, 2004).

را از خود نشان می دهد می تواند بیانگر ترکیب کانی شناسی اولیه آراغونیت یا کلسیت و تبدیل آنها در طی دیاژنس به دولومیت باشد. مطالعات ژئوشیمیایی نشان می دهد که آراغونیت در حدود ۷۰۰۰-۸۰۰۰ گرم در تن، کلسیت در حدود ۲۰۰-۴۰۰ گرم در تن و دولومیت در حدود ۶۰۰-۷۰۰ گرم در تن استرانسیم در ساختمان خود دارند

(Nickless et al., 1975; Olaussen, 1981; Hanor, 2004). بنابراین در طی فرایند تبدیل آراغونیت به کلسیت و در نهایت دولومیت، Sr می تواند آزاد و وارد سیال میان دانه ای شود و در نهایت اشباع این سیال نسبت به استرانسیم منجر به تشکیل سلسیت در فضاهای موجود در رسوبات یا جانشینی اندیزیت یا ژیپس گردد (Olaussen, 1981; Hanor, 2004). اندیزیت با داشتن حدود ۶۰۰ گرم در تن استرانسیم در ساختار خود در تبدیل به ژیپس که دارای ۲۰۰ گرم در تن استرانسیم است می تواند بخشی از عنصر استرانسیم مورد نیاز برای تشکیل سلسیت را تامین نماید (West, 1973; Carlson, 1987). فروزن بر این، دولومیتی شدن انتخابی در مراحل نهایی دیاژنس نیز عامل تامین کننده بخش دیگری از استرانسیم برای ژنس سلسیت در نظر گرفته می شود (Wood and Shaw, 1976).

با توجه به شواهد بافتی به نظر می رسد حداقل دو نسل کانی زایی سلسیت رخ داده باشد. یکی رسوب مستقیم سلسیت از شورآب های تغليظ شده در یک محیط سبخابی و پهنه های سوپراتایدال محیط تبخیری سازند آسماری پایینی است که این نوع سلسیت به صورت بلورهای منفرد و آندرال در یک زمینه آهک میکرایتی فاقد فسیل دیده می شود. دیگری حضور سلسیت در آهک های کاملاً تجدید تبلور یافته یا دولومیتی است.

- سبزه‌ای، م.، ۱۳۶۷. کالبد زمین‌شناختی کانسارهای سلستیت منطقه بهمنی، وزارت معادن و فلزات - اداره کل معادن و فلزات استان کهگیلویه و بویر احمد، ۵۸.
- کریمی، ع.، ۱۳۷۶. زمین‌شناسی، ژئوشیمی، آنالیز رخساره و ژنز کانسار سلستیت نخجیرکوه، جنوب شرق ورامین. رساله کارشناسی ارشد، دانشگاه تربیت مدرس، ۱۴۹.
- مطیعی، م.، ۱۳۷۲. زمین‌شناسی ایران- چینه‌شناسی زاگرس، سازمان زمین‌شناسی و اکتشافات معدنی کشور، طرح تدوین کتاب، ۵۳۶.
- نبیان، ا.، سعدالدین، ن. و مهمان‌نواز، ک.، ۱۳۶۵. بررسی‌های زمین‌شناسی و اکتشافات نیمه تفصیلی کانسار سلستیت کوه طلحه (منطقه سردار ورامین). سازمان زمین‌شناسی و اکتشافات معدنی کشور.
- نژاد حداد، م. و آفتابی، ع.، ۱۳۸۹. الگوی کانسارسازی کانسارهای سلستیت با استفاده از شواهد زمین‌شناسی، ساختی، بافتی و ژئوشیمیایی در تاقدیس بنگستان، بهبهان، اهواز. مجله علوم دانشگاه تهران، ۱، ۱۶۷-۱۵۷.
- نقشه ۱:۱۰۰۰۰۰ ایلام، سازمان زمین‌شناسی و اکتشافات معدنی کشور، برگه شماره ۵۲۵۷.

Adabi, M.H., 2009. Multistage dolomitization of Upper Jurassic Mozduran Formation, Kopet-Dagh Basin, N.E. Iran. *Carbonates and Evaporites*, 24, 1, 16-32.

Alavi, M., 2007. Structures of the Zagros fold-thrust belt in Iran. *American Journal of Science*, 307, 1064-1095.

Bahrami, H., 2000. Biostratigraphy and micropaleontological studies on the cutting samples of Changuleh well, north Dezful. Technical Report 1130, NIOCEXP Office Tehran (unpublished).

Baker, P.A. and Bloomer, S.H., 1988. The origin of celestite in deep-sea carbonate sediments. *Geochimica et Cosmochimica Acta*, 52, 335-339.

Bazargani-Guilani, K. and Nekouvaght Tak, M.A., 2008. Celestite ore deposit and occurrences of the Qom Formation, Oligo-Miocene, Central Iran. Second IASME/WSEAS International Conference on Geology and Seismology, Cambridge, UK.

Bazargani-Guilani, K. and Rabbani, M.S., 2005. Deposition of stratiform celestite of Aftar region, west of Semnan, Iran. *Scientific Quarterly Journal Geosciences*, 12, 55, 30-41.

Carlson, E. H., 1987. Celestite replacements of evaporites in the Salina group. *Sedimentary Geology*, 54, 93-112.

Choquette, P.W. and Pray, L.C., 1970. Geologic nomen-

با این حال، مطالعه ایزوتوبی جهت تشخیص دقیق سازوکار تشکیل سلستیت اجتناب‌ناپذیر خواهد بود. به عبارت دیگر ترکیب ایزوتوبی  $\text{SO}_4^{2-}$  کمک‌کننده باشد، زیرا آن‌ها می‌توانند در شناسایی منشا یون‌های  $\text{SO}_4^{2-}$  سولفور و اکسیژن سولفات‌ها می‌توانند در شناسایی سولفات‌هایی که از شورابه‌های دریایی و یا از سیالات روزنه‌ای سرچشمه گرفته‌اند را از هم متمایز کنند یعنی این‌که منشا سولفور از قبل در سنگ موجود بوده و یا از طریق فرآیندهای اکسیداسیون سولفید و یا احیا سولفات حاصل شده است.

### نتیجه‌گیری

رخداد سلستیت در بخش تبخیری سازند آسماری یعنی عضو کلهر در ارتفاعات گره چغا صالح آباد مهران در سنگ میزبان آهک و آهک دولومیتی تنها از طریق مطالعه میکرو‌سکوپی مقاطع نازک، پراش پرتو ایکس و تجزیه شیمیایی تشخیص داده شد. برمنای اندازه بلورها و شکل مرز بلورهای دولومیت در مقاطع نازک میکرو‌سکپی، انواع مختلفی از دولومیت شامل دولومیکرات، دولومیکرو‌اسپارایت، دولوسپارایت و دولومیت انتخابی تشخیص داده شد. با توجه به مطالعات پتروگرافی مقاطع نازک سنگ و میان‌بارهای سیال به‌نظر می‌رسد رخداد سلستیت در سنگ‌های کربناته مبتلور محصول انحلال آراغونیت‌های اولیه موجود در سازند آسماری، دولومیتی‌شدن آراغونیت و کلسیت و آزاد شدن استرانسیم در سیالی با منشا آب دریا و جانشینی آن به جای ایندریت در درجه حرارت نسبتاً بالا (۱۶۴-۱۸۴ درجه سانتی‌گراد) در مرحله دیاژنتیک باشد. در این ارتباط جهت روشن‌تر شدن منشا استرانسیم مطالعه ایزوتوبی عنصر استرانسیم، گوگرد و اکسیژن ( $^{18}\text{O}/^{16}\text{O}$ ,  $^{34}\text{S}/^{32}\text{S}$ ,  $^{87}\text{Sr}/^{86}\text{Sr}$ ) اجتناب‌ناپذیر خواهد بود.

### تشکر و قدردانی

نویسنده‌گان این مقاله از خانم زهره سهرابی کارشناس سازمان زمین‌شناسی و اکتشافات معدنی کشور به‌خاطر مطالعه مقاطع دارای میکروفیل، همچنین از داوران محترم که با نظرات و راهنمایی‌های ارزنده خود در بهبود سطح علمی این مقاله ما را یاری نمودند کمال تشکر را دارند.

### منابع

- آدابی، م.ح.، ۱۳۹۰. ژئوشیمی رسوی. انتشارات آرین زمین، چاپ دوم، ۵۰۳.
- احیا، ف.، ۱۳۷۶. زمین‌شناسی، ژئوشیمی و منشا افق سلستیت‌دار سازند گچساران، لیکک-بهبهان، استان کهگیلویه و بویر احمد. رساله کارشناسی ارشد، دانشگاه شیراز، ۱۹۱.
- احیا، ف.، ۱۳۸۰. زمین‌شناسی و منشاء رخداد سلستیت مخدان استان بوشهر. طرح پژوهشی دانشگاه آزاد بهبهان.
- جمی، م.، ۱۳۷۰. زمین‌شناسی، ژئوشیمی و منشا افق سلستیت‌دار منطقه بهمنی استان کهگیلویه و بویر احمد. رساله کارشناسی ارشد، دانشگاه شیراز، ۱۸۶.

- clature and classification of porosity in sedimentary carbonates. American Association of Petroleum Geologists Bulletin, 54, 207 -250.
- Dickson, J.A.D., 1965. A modified staining technique for carbonates in thin section: Nature, 205, 587.
  - Dunham, R.J., 1962. Classification of carbonate rocks according to depositional texture, in Ham, W. E. (ed.), Classification of Carbonate Rocks. AAPG Memoir, 1, 108–121.
  - Fontbote, L., 1981. Strata-bound Zn-Pb-F-Ba- deposits in carbonate rocks: new aspects of paleogeographic location, facies factors and diagenetic evolution. Ph.D Thesis, Universitat Heidelberg, 192.
  - Gregg, J.M. and Shelton, K.L., 1990. Dolomitization and neomorphism in the back reef facies of the Bonneterre and Davies Fomations (Cambrian), southeastern Missouri. Journal of Sedimentary Petrology, 60, 549-562.
  - Hanor, J.S., 2000. Barite-celestine geochemistry and environments of formation. Reviews of Mineralogy and Geochemistry, 40, 193–275.
  - Hanor, J.S., 2004. A model for the origin of large carbonate- and evaporite-hosed celestine ( $\text{SrSO}_4$ ) deposits. Journal of Sedimentary Research, 74, 169-175.
  - James, G.A. and Wynd, J.G., 1965. Stratigraphic nomenclature of Iranian Oil Consortium Agreement Area. American Association of Petroleum Geologists Bulletin, 49, 12, 2182-2245.
  - Kavoosi, M. A. and Sherkati, S., 2012. Depositional environments of the Kalhur member evaporates and tectonosedimentary evolution of the Zagros fold-thrust belt during Early Miocene in south westernmost of Iran. Carbonate sand Evaporites, 27, 55–69
  - Keyvanfar, M. and Kowsari, S., 1993. Semi-detailed exploration of Konj celestite deposit. Kohkilouyeh and Boyer Ahmad bureau of mines and industries.
  - Lake, J.H., 2004. Early marine cementation in Upper Devonian (Duperow Formation) carbonates in southwestern Saskatchewan. in Summary of Investigations 2004, Volume 1, Saskatchewan Geological Survey, Sask. Industry Resources, Miscellaneous Report 2004-4.1, CD-ROM, Paper A-6, 3.
  - Land, L.S., 1985. The origin of massive dolomite. Journal of Geology Education, 33, 112-125.
  - Mazzullo, S.J., 1992. Geochemical and neomorphic alteration of dolomite. A Review. Carbonates and Evapo-
  - rites. 7, 21-37.
  - Nayebi, Z., 2003. Biostratigraphy and micropaleontological studies on the cutting samples of Dalpari well, north Dezful. Paleontological note 580. NIOCEXP Office Tehran (unpublished).
  - Nesse, W.D., 2012. Introduction to Optical Mineralogy, Fourth Edition, Oxford University Press, 368.
  - Nickless, E.F.P., Booth, S.J. and Mosley, P.N., 1975. Celestite deposits of the Bristol area. Transactions of the Institution of Mining and Metallurgy, 84, B62-B64.
  - Olaussen, S., 1981. Formation of celestite in the Wenlock, Oslo region Norway-evidence for evaporitic depositional environments. Journal of Sedimentary Research, 51, 37-46.
  - Regueiro, M., 1998. Strontium, the global clue: from sweet refinement to WWW. Pages 59-65 in proceedings of the Industrial Minerals International Congress, Worcester Park, UK. Industrial Minerals.
  - Scholle, P.A., Stemmerik, L. and Harporth, O., 1989. Origin of major karst-associated celestite mineralization in Karstryggen, central east Greenland. Journal of Sedimentary Petrology, 60, 397-410.
  - Sibley, D.F. and Gregg, J.M., 1987. Classification of dolomite rock texture. Journal of Sedimentary Petrology, 57, 967-975.
  - Van Buchem, F.S.P., Allan, T.L., Laursen, G.V., Lotfpour, M., Moallemi, A., Monibi, S., Motiei, H., Pickard, N.A.H., Tahmasbi, A.R., Vedrenne, V. and Vincent, B., 2010. Regional stratigraphic architecture and reservoir types of the Oligo-Miocene deposits in the Dezful Embayment (Asmari and Pabdeh formations) SW Iran. In: van Buchem, F.S.P., Gerdes, K.D., Esteban, M., (eds) Mesozoic and Cenozoic carbonate systems of the Mediterranean and the Middle East: sequence and diagenetic reference models. Geological Society of London, Special Publication, 329, 219-263.
  - Warren, J.K., 2006. Evaporites: Sediments, Resources and Hydrocarbons, Springer, 1035.
  - West, I.M., 1973. Vanished evaporites-significance of strontium minerals. Journal of Sedimentary Petrology, 43, 278-279.
  - Wood, M.W. and Shaw, H.F., 1976. The geochemistry of celestites from the Yate area near Bristol (U.K.). Chemical Geology, 17, 179-193.